

KÖLIBERGARTER / KÖLI ROCKS

- Trondhjems / O - stårlins av hydrotermalkvarts  
Trondhjemite / O - hydrothermal quartz lens
- Metagabbro (grönsten, amfibolit)  
Metagabbro (greenstone, amphibolite)
- Ultramafiska bergarter (peridotit, serpentinit, taljsten)  
Ultramafic rocks (peridotite, serpentinite, soapstone)
- Kvartskeratofy, inkl. subvulkaniska intrusioner / kärvskeffig  
Quartz keratophyre, incl. subvolcanic intrusions / Garbenschiefer
- Grönskiffer, grönsten / agglomeratisk  
Greenschist, greenstone / agglomeratic
- Amfibolit / kalkig, fragmentförande, kloritrik bergart  
Amphibolite / calcareous, fragment-bearing, chlorite-rich lithology
- Tuffit / kärvskeffig  
Tuffite / Garbenschiefer
- Växelagring mellan kvartskeratofy, grönskiffer och/eller tuffit  
Alternating quartz keratophyre, greenschist and/or tuffite
- Kalksten eller marmor, i allmänhet kalkcitisk  
Limestone or marble, generally calcitic
- Kvartsit / kvartskonglomerat  
Quartzite / quartz conglomerate
- Gråvacka  
Metagraywacke
- Kalkfylit (Blåsjöfyllit, Brakfjällsfyllit) / kärvskeffig  
Calcareous phyllite / Garbenschiefer
- Gråfyllit  
Graphitic phyllite
- Grå fyllit / kärvskeffig / konglomeratisk  
Grey phyllite, sometimes conglomeratic
- Kvartsfyllit, ibland grafitisk  
Quartz phyllite, sometimes graphitic
- Glimmerskiffer, kvarts-glimmerskiffer / konglomeratisk  
Mica schist, quartz-mica schist / conglomeratic
- Växelagring mellan glimmerskiffer och amfibolit  
Alternating mica schist and amphibolite

ÖVERGÅNGSBERGARTER / ROCKS IN TRANSITION UNITS

- Ultramafiska bergarter  
Ultramafic rocks
- Amfibolit  
Amphibolite
- Kalkhaltig glimmerskiffer, kärvskeffig  
Calcareous mica schist, Garbenschiefer
- Gråfyllit eller grafitisk  
Graphitic phyllite or schist
- Glimmerskiffer, gnejs (muskovit-biotit-granat)  
Mica schist, gneiss (muscovite-biotite-granit)
- Växelagring mellan glimmerskiffer och amfibolit  
Alternating mica schist and amphibolite

SEVEBERGARTER / SEVE ROCKS

- Ultramafiska bergarter (dunit, peridotit, serpentinit, taljsten) / d.o. Ertske-linsen  
Ultramafic rocks (dunite, peridotite, serpentinite, soapstone) / d.o. Ertske Lens
- Eklogit och retro-eklogit / d.o. Avarde-enheten  
Eclogite and retro-eclogite / d.o. Avarde unit
- Amfibolit, granatamfibolit, inkl. diabas, ofta taljspatkrömlerande; mindre inslag av gnejs eller glimmerskiffer / d.o. Ertske-linsen  
Amphibolite, garnet amphibolite, incl. dolerite, often with taljapat phenocrysts; minor intercalations of gneiss or mica schist / d.o. Ertske Lens
- Marmor, i allmänhet kalkcitisk, kalkskiffer  
Marble, generally calcitic, calc-silicate rocks
- Gråfyllit  
Graphitic schist
- Gnejs, högmetamorfor (kyanit-sillimanit-kalkfyllit) / d.o. Avarde-enheten  
High-grade gneiss (kyanite-sillimanite-calc-schist) / d.o. Avarde unit
- Glimmerskiffer, gnejs, i allmänhet granat-biotit-muskovit(fengit)förande; mindre inslag av amfibolit  
Mica schist, gneiss, generally garnet-biotite-muscovite(sphengite)-bearing; minor intercalations of amphibolite
- Kvartsit, taljpatkvartsit, meta-arkos, kvartsitisk gnejs / d.o. Lejaren-enheten  
Quartzite, taljapatite quartzite, meta-arkose, quartz-rich gneiss / d.o. Lejaren unit
- Växelagring mellan amfibolit och glimmerskiffer eller gnejs  
Alternating amphibolite and mica schist or gneiss

BETECKNINGAR / SYMBOLS

- Radometrisk åldersbestämning (se tabell)  
Isotopic age determination (see Table)
- Fossil-lokal  
Fossil locality
- Häll, observerad yta av blottat berg; ofärdig ring i reglerad sjö = tillfällig blottning  
Observed outcrop; unbounded symbol in lake = occasional exposure at low-water level
- Förskifning med gradtal för stupning  
Foliation, schistosity, dip in degrees
- Lagring med gradtal för stupning  
Bedding, compositional layering, dip in degrees
- Förkätning, opacifierad rörelsezon  
Fault, undifferentiated
- Mindre överskjutning  
Minor low-angle thrust
- Överskjutning mellan huvudenheter  
Low-angle thrust separating major units
- Överskjutning vid basen av Köli skolkomplexet  
Low-angle thrust at the base of the Köli Nappe Complex
- Gräns mellan enheter i Seve, av osäker karaktär  
Contact between Seve units, stratigraphic or tectonic
- Bergartsgräns  
Lithologic boundary
- Krommalmsförekomst, övergivet brott; nr enl. SGU:s förekomstregister  
Chromite deposit (chromite), no. acc. to SGU mineral deposit register
- Sulfidmalmsförekomst, numrerad enl. ovan  
Sulfide deposit; number as above
- Kismineralisering, större / mindre; numrerad enl. ovan  
Sulfide mineralization; major / minor; number as above
- Stenbrott, mineralförekomst, numrerad enl. ovan  
Quarry, mineral deposit; number as above
- Höjdkurvor, 20 m ekvidistans  
Contour lines, interval 20 metres

KORTFATTAD BESKRIVNING  
(An English version is printed on the back of the map)

INLEDNING

Berggrunden inom de fyra kartbladen (22D-22E Frostviken tillhör den kaledoniska fjällkedjan, som är resultatet av en bergskedjebildning för ca 520-400 miljoner år sedan. Lapetus, det hav som utbildats i senprekambrisk tid mellan Europa och Nordamerika (Grönland) och som eventuellt hade utgjort samma brydd som den nuvarande Atlanten, bildades då grönsten åsarna. Havsbottenkvarnen pressades ner i subduktionszoner med samtidig utbildning av oblag, både på den västra (amerikanska) och östliga (europeiska) sidan. Genom storstadiade överskjutningar kom omfattande bergartskomplex att skjutas upp över den baltoskandiska urbergsköden. Sådana enheter benämns skolor och har transporterats flera hundratals kilometer åt öster eller sydost.

TEKTONISK INDELNING

Fjällbergrunden består i regel av en understa, tunn zon av rotfatta (autoiktone) bergarter men i huvudsak av tektonisk överskjutna (alloiktone) enheter. Dessa kan indelas i den undre, mellersta, övre och översta skollagergrunden. Hela det nu aktuella området är beläget inom den övre skollagergrunden, som också benämns Seve-Köli-skollan. Detta skollager består av ett antal olika enheter men i många fall, i synnerhet inom Sevebergrunden, är karaktären av kontakterna dem emellan ej tillräckligt väländ. En översikt av de strukturella enheterna inom området för de fyra nu publicerade kartbladen lämnas i nedanstående karta och diagram.

BERGARTERNAS ÅLDER

Utifrån tillgängliga data, jämförelser med andra områden och olika geologiska bedömningar kan man uppskatta bergarternas ålder. Seven uptröts tillgån av senprekambriska sediment med inslag av basiska magmabergarter som trängde upp vid Lapetus-havets öppning. Radiometrisk datering antyder att proterozoiska (urbergs-)bergarter från underlaget kan ingå. Kölibergarterna är med största sannolikhet underpaleozoiska, d.v.s. 600-400 miljoner år gamla (kambrium-ordovicium-slut). Välbevarade fossiler saknas visserligen inom kartområdet, men en kalkstenhorisont i Havdalselva, Norge (22D, 4), innehåller rikligt med crinoid- (stjäljle-)fragment samt rester av obestämbara echinodermer (taghudringar). Radiometrisk åldersdatering med UPb-metoden (urteparade zirkoner) har utförts på subvulkaniska och intrusiva bergarter i Köli och givit ålder på 478 och 440 miljoner år för de tre undersökta bergartsdelarna. De två senare ingår i Stikka-skollan och ger stöd för tolkningen att lagerföljden i denna skolla är inverterad (de yngre bergarterna ligger underst).

METAMORFOS

I samband med bergskedjebildningen pressades bergarterna ned till relativt stora djup. Ökat tryck och förhöjd temperatur ledde till att de ursprungliga såväl sedimentära som vulkaniska bergarterna omvandlades genom den process som kallas metamorfos (omvandling). Sevebergarterna uppvisar i regel högre metamorfos än Kölibergarterna och förklarar i regel i områdena. Mineral sammansättningen ryktad kalkfyllit (mikrosk) samt indoximinerat kyanit och sillimanit.

BERGARTER

Beroende på utgångsmaterialet och som följd av variationer i deformation och metamorfos föreligger inom kartbladsområdet följande huvudbergarter:

Glimmerskiffer och gnejsar uppvar en stor del av Seveområdena. Från bögen har de utgjorts av sandiga och lerhaltiga sediment, vilket lett till att den nuvarande mineralogin domineras av kvarts, rikligt fältspat, glimmer (biotit och muskovit) samt granat. De mera högmetamorfa gnejsarna uppvisar rikligt kalkfyllit (mikrosk) samt indoximinerat kyanit och sillimanit.

Amfibolit är den dominerande bergarten inom stora delar av Frostvikenområdet. Sannolikt representerar amfiboliten basiska intrusioner och/eller vulkaniter. Ursprunglig pyroxen har ersatts av hornbländ (amfibolit), vilken ger bergarten dess bandade gröna utseende. Även andra mineral har omkristalliserat eller nybildats. Innehåll av epidot eller granat indikerar lägre resp. högre metamorfosgrad. Eklogit eller retro-eklogit (omvandlad, delvis nedbruten eklogit) uppvisar mindre kroppar. Högtrycksmetamorfer i dessa bergarter domineras av pyroxen (omfallit) och Mg-rik granat (pyrop).

Fylliter är benämningen på de ursprungligen sedimentära bergarterna som dominerar Köliberggrunden. Beroende på utgångsmaterialet varit ett sandigt, lerigt eller kalkigt sediment eller halt en alunskifferad sammansättning benämns de kvartsfyllit, grå fyllit, kalkfyllit, resp. grafitfyllit. Dominerande mineral förutom kvarts är oftast fältspat (senit, muskovit) och klorit. Dessa mineral kallas också fyllosilikat (därför namnet fyllit) och ger bergarten ett sidglänsande utseende. I den undre delen av Köli, där metamorfosgraden ökar något, bärar biotit, granat och hornbländ utprädd. Fylliterna övergår därvid successivt till glimmerskiffer eller, med ökande kalkhalt, till kärvskeffig eller av rostfärgade hornbländagregat.

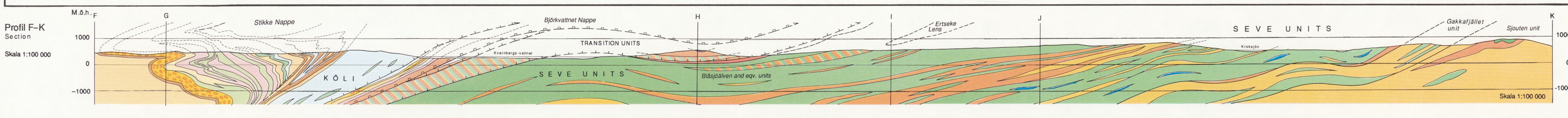
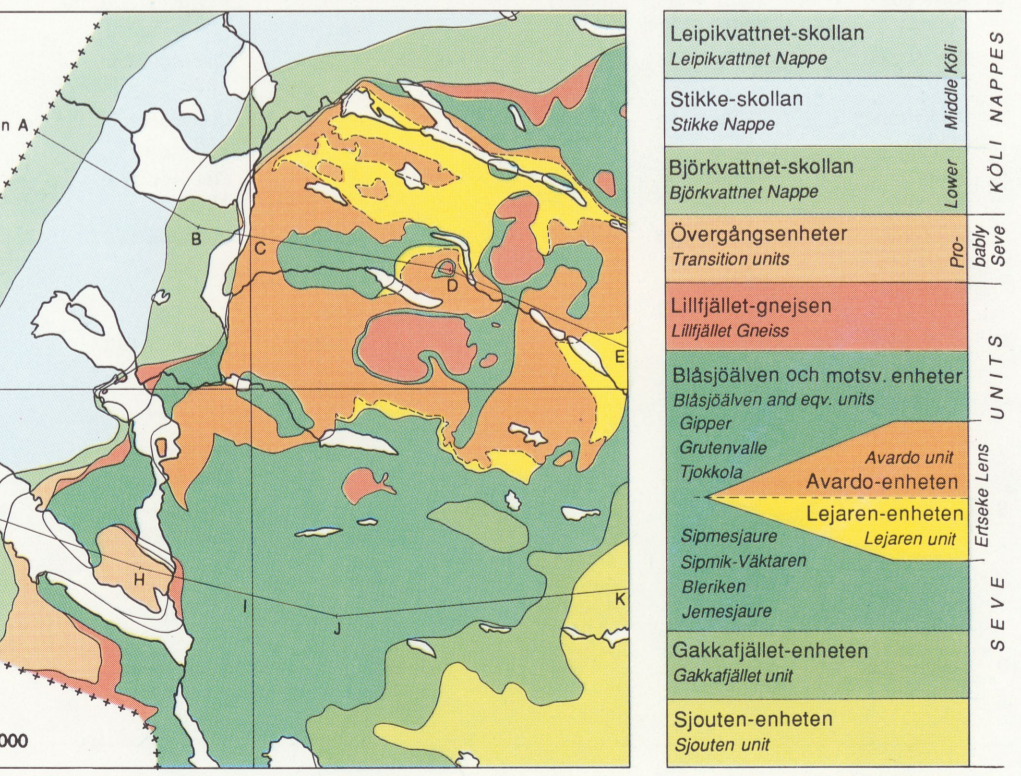
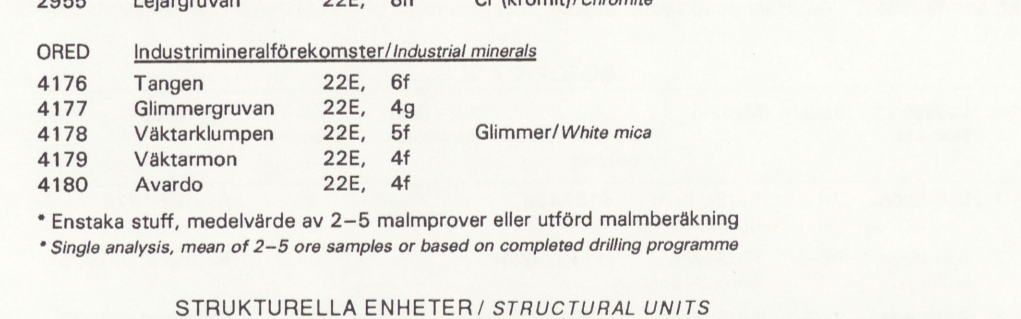
Grönskiffer och kvartskeratofyter är benämningar på de mafiska resp. felsiska metavulkaniska bergarterna i Köli. De förra domineras av Na-rik plagioklas (albit), Al-fattig hornbländ (aktinolit) och klorit, medan de felsiska leden huvudsakligen består av kvarts och albit, i vissa lagor även med stötkorn av dessa båda mineral i en länkfångning mellansida. Både de felsiska men framför allt de mafiska leden är ibland boll- eller fragmentförande vilket antyder att de från början varit gröva vulkaniska (pyroklastiska) eller vulkanoklastiska produkter.

Intrusiva bergarter uppträder både i Seve- och Köliområdena. De kan indelas i ultramafiska, mafiska och felsiska (sura), men är alla mer eller mindre omvandlade (meta). De förra innehåller dunit (olivindominerat), peridotit (olivin och pyroxen), serpentinit (serpentin) och taljsten (soapstone). De är i regel rödaktiga p.g.a. järnoxider och speciella lavar och kallas i folkum ofta "rödberg". Gabbroida intrusioner torde ingå i Sevens amfiboliter men är klarast urskärbara inom Köli, där de utgör ett karaktäristiskt inslag i Stikkaskollans Blåsjöfyllit. Inom Köli uppträder dessutom småre linser av felsiska intrusivbergarter (trondhjemit, "taljgranit").

MALM- OCH MINERALFÖREKOMSTER / ORE AND MINERAL DEPOSITS

Number	Name	Location	Altitude*	Sulphur and metal contents*					
				S%	Cu%	Zn%	Pb%	Ag ppm	As ppm
OREC	Kärlförekomst/Schists deposit								
434	Jorpatjuot	22E, 9d	29,2	0,14	2,37	0,07	0,1	0,1	10
783	Ankavattnet	22E, 0f	18,4	0,45	5,48	0,37	0,2	0,7	17
821	Kyrkoblandet	22E, 3b	8,4	0,19	1,11	0,47	0,1	0,1	15
1644	Björkvattnet	22E, 3a	21,9	0,73	0,40	0,05	0,2	0,1	4
1889	Lilfjället	22E, 1d	5,5	3,81	0,11	0,03	0,4	1,3	3
1899	Bustadmyren	22E, 2a	5,2	0,40	2,42	0,09	-	-	7
1901	Portfjället	22D, 3i	25,6	0,16	0,54	0,41	-	-	18
1902	Bocken	22E, 4a	27,4	0,02	0,01	<0,01	0,1	0,1	<5
2013	Tängen	22E, 6e	3,8	0,05	1,71	4,13	0,1	0,1	4,3
2116	Hållabäckgruvan	22D, 3i	4,3	1,02	0,02	0,01	-	-	7
2117	Björkvattnet W	22D, 3j	31,9	0,01	0,02	0,01	-	-	5
2150	Jorpatjuot	22E, 6c	11,0	0,40	4,75	0,01	0,1	0,1	9
2300	Stikkaskollan	22E, 6h	16,6	14,0	0,2	<0,01	2,4	3,0	30
2919	Småvattnet	22E, 4d	26,1	0,05	12,08	0,13	-	-	5
OREC	Oxidförekomst/Oxide deposits								
2084	Röfningsgruvan	22E, 7f	-	-	-	-	-	-	-
2955	Lejargruvan	22E, 8h	-	-	-	-	-	-	-
ORED	Industriell mineralförekomst/Industrial minerals								
4178	Tängen	22E, 6e	-	-	-	-	-	-	-
4177	Glimmergruvan	22E, 4g	-	-	-	-	-	-	-
4178	Väktarklumpen	22E, 5f	-	-	-	-	-	-	-
4179	Väktarkorn	22E, 4f	-	-	-	-	-	-	-
4180	Avarde	22E, 4f	-	-	-	-	-	-	-

\* Enstaka stufv, medelvärde av 2-5 malmprover eller utförd malmberäkning  
\* Single analysis, mean of 2-5 ore samples or based on computed drilling programme



## GEOFYSIK

Regionala flygmätningar saknas, men omfattande elektromagnetiska marmätningar (slingarm) har utförts över delar av Källbergrunden. Mätningar finns från strax söder om Slesjåura till norra kartbladsgränsen för 22E NV, över ett område kring Björkvatnet (22E, 3–4) samt över prospektingsobjekten Lillfjället, Småvatnsbränna (St. Jormsjön) och Kwarnfjällen (5–6d). Mätningarna lämnar i regel värdefull geologisk information, eftersom den ökade ledningsförmågan hos de grafiska fylierna och skifferarna ger upphov till uttåliga anomalier.

## MALMER OCH INDUSTRIELLA MINERAL

Ur malmeologisk synpunkt har de lagerformigt uppträdande (stratabundna) *Kisalmalmerna* tilldragit sig det största intresset alltsedan de första upptäckterna gjordes i början av 1900-talet. De klassas numera som exhaustiv sedimentära, d.v.s. avsatta i samband med vulkanisk verksamhet genom lösninngar som utfällts på havsbotten eller i de närmast underliggande ännu ej konsoliderade bergarterna. Malmerna domineras i regel av kompaktartad svavelkis med varierande halter av zink, koppar och (regel obetydligt) by samt visst innehåll av silver och guld (se tabell på kartans framsida). Impreg-nationsartade mineraliseringar förekommer också.

Ankervattnetmalmen har undersökts av SGU (31 st borrhål) och beräknas innehålla 753 000 ton malm med halter enl. tabell. Jernfjällmalmen ägs i.n. av Bolden Mineral AB. 103 borrhål har slagits och tonnageg uppskattas till 612 000 ton (halter, se tabell ). Björkvattnetmalmen har uppborrats av SGU (30 st borrhål). Totala tonnageg uppgår till endast 132.000 ton med relativt låga metallhalter (se tabell). Jörpätjuett (Cla Andersgruvan) har likaledes undersökts av SGU (5 st borrhål) men är obetydlig liksom övriga Kisalmalmledningar som finns listade i tabellen eller inlagda på kartorna.

Några partier av de ultramafiska kropparna har utmålats på grund av förhöjda halter av krom (i mine-rälet kromit), och förutställningarna för *nickel-/kobolt*-utvinning har undersökts, framför allt under 1970-talet. Ingendera av metallerna dr dock med nuvarande förutställningar ekonomiskt utvinningsbar, ej heller mineralen *magnetit* eller talk.

*Glimmer*, främst för användning inom den elektriska industrien, bröts under avspärrningsåren 1941–1945 i ett fertalt små fyndigheter, 15–25 km NNE om Gäddede. Förekomsterna utgöres delvis av peg-mätningar, delvis av lagertätaade koppars och järns av grovgradig glimmer i glimmer-skiffer. Det ungefärliga läget av ett antal brutna fyndigheter har inlagts på kartorna och listas i tabellen.

## DESCRIPTION

### General geology

The bedrock within the four map sheets (22D-22E Frostviken forms part of the Scandinavian Caledonides. The rocks are late Proterozoic – early Palaeozoic in age, although the high-grade rocks in the east (Seve) may contain older Precambrian elements. Most Caledonian rocks in Scandinavia, and all the units in the present area, are allochthonous and have been thrust east- or southeastwards onto the Baltoscandian platform. Regionally, the Caledonides are divided in ascending order into the Autochthon and the Lower, Middle, Upper and Uppermost Allochthons (Kulling 1972, Gee et al. 1985). All tectonostratigraphic units in the area belong to the Upper Allochthon, which is composed of high-grade Seve rocks, metamorphosed under amphibolite-granulite facies conditions, locally with high-P assemblages (eclogites), and overlying Köll nappes composed of lower-grade, greenschist – lower amphibolite facies rocks.

The Seve rocks are dominated by quartz-rich metasedimentary units which were probably deposited along the western edge of the late Proterozoic – early Palaeozoic continent Baltica, and metabasic rocks which represent intrusions and extrusions related to the opening of the Palaeozoic lapetus Ocean (Proto-Atlantic). Regionally, the Köll rocks have been subdivided into three major tectonic units the Lower, Middle and Upper Köll (Stephens 1980). The Lower Köll is interpreted to represent ensimatic arc-basin complexes that probably developed closer to the 'European side' of the lapetus, whereas the Middle and Upper Köll nappes represent more exotic ensimatic arc-basin sequences which probably developed along the Laurentian ('American') side of lapetus (Stephens and Gee 1985, Stephens 1980). All the Seve and Köll units have a complex tectonic and metamorphic history (Dallmeyer and Gee 1988). The Seve units were affected by a Late Cambrian – Early Ordovician event, locally producing high-pressure assemblages, and all units were affected by Ordovician–Silurian deformation and metamorphism. The various complexes were successively brought together along the suture zone formed during collision of the continents Baltica and Laurentia in the Late Silurian – Early Devonian. At this time the Caledonian activity faded out.

### Tectonostratigraphic units

The geological units distinguished on the maps are principally lithologic or lithostratigraphic in character. The map legend is identical for the four sheets although all rock types are not present on each individual map sheet. The rock sequence regionally forms a tectonostratigraphy where the different, generally NW-dipping units are separated by major and minor thrusts, as demonstrated by the structural inset map and its legend.

### Seve units

About two thirds of the bedrock within the map area are composed by Seve rocks. It should be noted that several of the eastern units, dominated by quartzite or meta-arkose with mafic rock intercalations, were classified by Strömberg (1984) as part of the Middle Allochthon. The state of metamorphism, including the presence of eclogites and retro-eclogites in several units, the structural pattern, and regional comparisons and correlations argue for inclusion in the Upper Allochthon.

The Sjöuten unit (Bakker 1978) is structurally the lowermost complex of the map area. It is dominated by quartzite and felsitic/biotite metasediments and contains the typical eclogites and several smaller eclogite and retro-eclogite bodies. The metamorphic conditions during eclogite formation have been estimated at 14.0±1.5 kb and 550±70°C (Van Roermund 1985). Less metamorphosed mafic rocks also occur as dykes. Subordinate garnet-biotite-phenigite schists are associated with the retro-eclogites.

The Gakkalfjället unit (Van Roermund 1976) is used here in an extended sense as a name for several units dominated by quartzite or meta-arkose with mafic rock intercalations, the largest of which is called the Fiskfjället Amphibolite. The amphibolites are often megacriferous, sometimes porphyritic with feldspar megacrysts; cross-cutting dolerites occur. On the 22E Frostviken map sheets, the Gakkalfjället and Sjöuten Formations are present only on the SE quadrangle.

The Blåsjöälven unit is a grouping of several amphibolite-dominated complexes, including the Blåsjöälven Formation (Sjöstrand 1973). They enclose the Ertsøke Lens (see below, and tectonic inset map) on all sides. Structurally underlying are the Jemesjaure Formation' (Van Roermund 1976), the Berlik 'Eenheit' (Biermann 1977), the Simesjaure Amphibolite (Sjöstrand 1978) and the Sipmik-Väkären Formation (Kardoos 1978); overlying are the Clippier Amphibolite (Winter 1974) and the Grutovalle (Kardoos 1978) and Tjåkåla (Van Roermund 1977) Formations'. The amphibolites are locally garnet-bearing and metasedimentary intercalations of garnet-biotite-muscovite schist, quartzite and marble also occur.

The Ertsøke Lens occurs as a tectonic lens or a detached, recumbent, isoclinal fold-hinge within the above-mentioned amphibolites. It is composed of two lithologically distinct subunits. The Lejåren unit including the Lejåren Formation' (Sjöstrand 1978), the Krøneke Quartzite (Winter 1974) and the Rieksvato Formation' (Kardoos 1978) are high-grade quartz-rich gneisses, often unsuitable to develop characteristic index minerals; quartz-feldspar pegmatites occur. The Avarødt unit (Formation' acc. to Sjöstrand 1978) is a kyanite-sillimanite-K-feldspar gneiss which forms the host rock to most of the eclogites in the map area. Peak metamorphic conditions here have been estimated to be 18.0±1.0 kb and 780±50°C (Van Roermund 1985). Isotopic data from rocks of the Lejåren and Avarødt units indi-

### ISOTOPIC AGES

No.	Location (sample)	Square	Method	Age (Ma)	Reference
			Metamorphism/cooling	Intrusion	Provenance
1	L. Blåsjön	7e	Rb/Sr, K/Ar bi, mu, Kfsp	418–438	Reymer 1979
2	Ankarede (suite 1)	6e–f	Rb/Sr w. (errorchron)	(1140±325)	Reymer et al. 1980
3	Ankarede (suite 2)	7–8, f–g	Rb/Sr w.r. (errorchron)	(930±110)	Reymer et al. 1980
4	Brettåsenet (Ø1014)	7e	U/Pbzircon	488±5	Claesson et al. 1983
5	Björkvatnet (Ø3047)	3j	U/Pbzircon	47±0.1 (m.)	Claesson et al. 1987
6	Viken (Ø3048)	5b	U/Pbzircon	440±2	Claesson et al. 1987
7	Murusjåen (Ø1011–12) (Ø1011)	0d–1c	U/Pbzircon (ionvent.) Sm–Nd (T <sub>cool</sub> , T <sub>alt</sub> )	423±26	1512±36 Claesson 1987
8	St. Blåsjön (Ø1013)	6e	U/Pbzircon (ionvent.) Sm–Nd (T <sub>cool</sub> , T <sub>alt</sub> )	369±38	1449±47 Claesson 1987
9	Gäddede-Blåsjön (Seve) (Köll)	1–7, b–e	Ar/Ar hbl, bi, mu hbl	460–470 430±5 430±5 -417	1570, 1910 Williams and Claesson 1987
10	Blomhøden	3j	Sm–Nd	666±22	E. W. Mearns (pers. comm. 1988)

cate Precambrian elements (Reymer et al. 1980, Claesson 1987, Williams and Claesson 1987). Caledonian metamorphism of the Avarødt gneisses, dated by U/Pb zircon, has been calculated at 369±38 Ma with conventional (Claesson 1987) and at 423±5 Ma using ion microprobe methods (Williams and Claesson 1987).

The Lillfjället Gneiss was defined by Sjöstrand (1978) in the area south of Kvambergsvatnet and is present as isolated lenses at a level close to the top of the Seve units across the present map area. It is a kyanite-sillimanite-K-feldspar gneiss (without eclogites or retro-eclogites), partly migmatitic with only subordinate amphibolite intercalations. Radiumseries dating north of Murusjåen (Claesson 1987) has indicated a Caledonian metamorphism at 423±26 Ma and a Precambrian provenance (1512±36 Ma). The Lillfjället Gneiss also occurs as outliers ('Klippen') on top of the Ertsøke Lens (see 22E NE, and inset map) and is separated from this unit by amphibolite-dominated sequences which have been correlated with the Blåsjöälven Formation'. Further north, the Lillfjället Gneiss might be conflated with the Marsfjället Gneiss (Trouw 1973), which in that area is the main unit of the Central Seve belt. As a con-

sequence, the eclogite-bearing Ertsøke Lens is placed at a structurally lower level, beneath the Central Belt, probably intercalated within the Eastern Schist and Amphibolite Belt of Trouw (1973).

### Transition units

This term was used by Sjöstrand (1978) in describing various tectonic units of uncertain affinity between the Seve and the overlying Köll rocks. Without detailed microscopical investigations it is often difficult to decide in the field whether the rocks represent the lower prograde part of the Köll, or retrograded units at the top of the Seve. The rocks are dominated by mica schist (garnet-biotite-muscovite), often with large, fresh to completely retrogressed garnets, and isolated amphibolite or actinolitic schist. Graphitic schist, calcareous Garbenschiefer and quartz schist are intercalated, and ultramafic bodies occur frequently. The position of these units on top of the Lillfjället Gneiss (Central Belt Seve) indicates that they might be correlated with the Svartsjöbäcken Schists (Trouw 1973) further north.

### Köll units

The greenschist facies metamorphic rocks of the Upper Allochthon are referred to as Köll. They represent the Cambro-Silurian sedimentary and volcanic eugeoclinal assemblages, deposited in exotic westerly areas, as opposed to the platformal and miogeoclinal sequences which are part of the late Precambrian - Silurian sequence of the Autochthon and Lower Allochthon, deposited on the Baltoscandian platform. Only Lower Köll and Middle Köll rocks are present within the area.

Lower Köll rocks form a continuous, up to 5 km wide zone diagonally through the map sheets. Definition of the character and limits of this unit is well-established further north in its type area around Björkvatnet-Visen (Kulling 1933); the term Björkvatnet Nappe has been applied as a regional name for this tectonic unit from Björkvatnet-Visen and southwards (Stephens 1980); no fossils have been found within the Frostviken map sheets. A U/Pb zircon dating (Claesson et al. 1983) of the subvolcanic trondhjemites of the mixed mafic and felsic volcanic rocks of the Tjipassi Group (Zachrisson 1969) has defined an age of 488±5 Ma (Kernig?), which is consistent with the inferred stratigraphical age. The quartzite/marble horizon above the volcanic rocks has been correlated with the Vojta-Glacial Formation of Ashgillian age in the type area.

In the map area, the tectonic contact at the top of the Björkvatnet Nappe has been demonstrated only between the lakes Ankervatnet and Stora Blåsjön (Sundblad 1981). Further northeast and southwest, the thrust has been tentatively traced slightly above the above-mentioned quartzite/marble horizon, locally including some calcareous phyllites (Garbenschiefer) which may represent the Lövfalljäll Phyllite (Kulling 1933). The presence of black phyllites (equivalents to the Broken Formation) and associated mafic volcanic rocks and intrusions makes this zone susceptible to tectonic dislocations.

Middle Köll is represented by two different tectonic units in the present area. The *Silkke Nappe* derives its name from the Støkenjøkk area (Stephens 1982) where the felsic-dominated Støkenjøkk Quartz-Keratophyre forms a prominent formation. This unit can be followed continuously into and through the 22D-E map sheets, where, south of western Kvambergsvatnet, it has been named the Skogståkken Volcanites (Sjöstrand 1978). The stratigraphical sequence of the Silkke Nappe is inverted. Thus, the Basal-Quartz-Keratophyre Formation (Nilsson 1964) is structurally overlying, but stratigraphically underlain, by variable, dark, often graphitic phyllites and mafic volcanites (Remdalen Group of Zachrisson 1969) and stratigraphically overlain by the underlying calcareous phyllites (Blåsjö Phyllite of Nilsson 1964). U/Pb zircon dating (Claesson et al. 1988) gives a minimum age of 476±1 Ma for the Skogståkken Volcanites and an age of 440±2 Ma for felsic, trondhjemitic intrusions in the (stratigraphically) lower part of the Blåsjö Phyllite. Thus, the age of the rocks in the Silkke Nappe is probably Ordovician.

The uppermost tectonic unit of the area, along the national border to Norway, is represented by the Middle Köll *Leipikvatnet Nappe* (Zachrisson 1969). The thrust at its base is geologically significant around lake Leipikvatnet. Although difficult to pin-point in the present map sheets, it has to be traced somewhere within the sequence of dark, often graphitic phyllites. A calcareous phyllite, the Brakkfjället Phyllite (Nilsson 1964), forms the major formation of the nappe. Characteristic rock types in the Leipikvatnet area are polymict conglomerates, coarse fragment-bearing metagreywackes and the Bjuråk limestone. Some of these units impinge on the northernmost edge of 22E NW.

## LITERATURE

SGU = Sveriges geologiska undersökning
GFF = Geologiska Föreningens i Stockholm Förhandlingar

- Bakker, E., 1978: Geology of the Borgafjäll-Bågedö area. – Scripte 2e bijvak. Internal report, Univ. Leiden. SGU BRAP 88009, 106 pp.
- Biermann, C., 1977: Jaarverslag van de vakgroep Tektoniek, 1976. – Internal report, Univ. Leiden. SGU BRAP 88012, 31 pp.
- Claesson, S., 1987: Isotopic evidence for the Precambrian provenance and Caledonian metamorphism of high grade paragneisses from the Seve Nappe, Scandinavian Caledonides. I. Conventional U-Pb zircon and Sm-Nd whole rock data. – Contrib. Mineral. Petrol. 97, 196–204.
- Claesson, S., Klingspor, I. and Stephens, M.B., 1983: U-Pb and Rb-Sr isotopic data on an Ordovician volcanic-subvolcanic complex from the Tjipassi Group, Köll Nappes, Swedish Caledonides. – GFF 105, 9–15.
- Claesson, S., Stephens, M.B. and Klingspor, I., 1988: U-Pb zircon dating of felsic intrusions, Middle Köll Nappes, central Scandinavian Caledonides. – Norsk Geol. Tidsskr. 68, 89–97.
- Dallmeyer, R.D. and Gee, D.G., 1988: Polyorogenic Ar/Ar mineral age record in the Seve and Köll Nappes of the Gäddede area, northwestern Jämtland, central Scandinavian Caledonides. – J. Geol. 96, 191–198.
- Du Rietz, T., 1935: Peridotites, serpentinites and soapstones of northern Sweden. – GFF 57, 133–260. – 1938: The injection metamorphism of the Muruhatten region. – SGU C 416, 86 pp. – 1956: The content of chromium and nickel in the Caledonian ultrabasic rocks of Sweden. –GFF 78, 233–300.
- Gee, D.G., 1975: A tectonic model for the central part of the Scandinavian Caledonides. – Am. J. Sci. 275A, 468–515.
- Gee, D.G. and Zachrisson, E., 1979: The Caledonides in Sweden. – SGU C 769, 48 pp.
- Gee, D.G., Kumpulainen, R., Roberts, D., Stephens, M.B., Thon, A. and Zachrisson, E., 1985: De skandinaviska Kaledoniderna. Tektono-stratigrafisk karta, 1:2 milj. – SGU Ba 36. (English version, SGU Ba 36.)
- Kardoos, M.A., 1978: Geological map of the Blåsjön-Blomhøden area, Caledonides of W. Jämtland, Sweden. – Unpubl. map, 1:50 000, Univ. Leiden.
- Kulling, O., 1933: Bergbyggnaden inom Björkvatnet-Visen-området i Västerbottensfjällens centrala del. – GFF 55, 167–22.
- 1972: The Swedish Caledonides. In de Sitter, L.U. (ed.): Scandinavian Caledonides. – Wiley Interscience, London, 149–285.
- Molen, I. van der, 1975: De geologie van het Ankarede-Selkantjakk gebied. – Scriptie 1e bijvak. Internal report, Univ. Leiden. SGU BRAP 88016, 87 pp.
- Nilsson, G., 1964: Berggrunden inom Blåsjöområdet. – SGU C 595, 70 pp. (English summary.)
- Reymer, A.P.S., 1979: Investigations into the metamorphic nappes of the central Scandinavian Caledonides on the basis of Rb-Sr and K-Ar age determinations. – Unpubl. thesis, Univ. Leiden, 123 pp.
- Reymer, A.P.S., Boelrijk, N.A.I.M., Hebeda, E.H., Friem, H.N.A., Verdurmen, E.A.Th. and Verschure, R.H., 1980: A note on Rb-Sr whole-rock ages in the Seve Nappe of the Central Scandinavian Caledonides. – Norsk Geol. Tidsskr. 60, 139– 147.
- Roberts, D. and Gee, D.G., 1985: An introduction to the structure of the Scandinavian Caledonides. In Gee, D.G. & Sturt, B.A. (eds.): The Caledonide Orogen – Scandinavia and Related Areas. – John Wiley & Sons, Chichester, 55–58.
- Sillanpää, J., 1986: Mineral chemistry study of progressive metamorphism in calcareous schists from Ankervatnet, Swedish Caledonides. – Lithos 19, 141–152.
- Sillanpää, J., Amnersten, H. and Sundblad, K., 1987: A garnet-hornblende zone in a calcareous phyllite from Ankervatnet area, central Swedish Caledonides. – Univ. Uppsala, Dept. Mineral. Petrol., Res. Rep. 42, 22 pp.
- Sjöstrand, T., 1978: Caledonian geology of the Kvambergsvatnet area, northern Jämtland, central Sweden. – SGU C 795, 107 pp.
- Spoor, G.J.P.M., 1972: Geologisch onderzoek van het gebied rondom Gäddede, Jämtland (N. Zweden). – Doktoralscriptie, Internal report, Univ. Leiden. SGU BRAP 88008, 34 pp.
- Stephens, M.B., 1980: Occurrence, nature and tectonic significance of volcanic and high-level intrusive rocks within the Swedish Caledonides. In Wones, D.R. (ed.): The Caledonides in the USA – Virginia Polytechnic Inst. and State Univ., Dept. Geol. Sci., Mem. 2, 289–298.
- 1982: Field relationships, pétrochemistry and petrogenesis of the Støkenjøkk volcanites, central Swedish Caledonides. – SGU C 786, 111 pp.
- 1986: Stratigraphy and deformation in the massive sulphide-bearing Silkke Nappe, Upper Allochthon. In Stephens, M.B. (ed.): Stratabound sulphide deposits in the central Scandinavian Caledonides. – SGU Ca 60, 68 pp.
- 1988: The Scandinavian Caledonides; a complexity of collisions. – Geology Today 4, 20–26.
- Stephens, M.B. and Gee, D.G., 1985: A tectonic model for the evolution of the eugeoclinal terranes in the central Scandinavian Caledonides. In Gee, D.G. & Sturt, B.A. (eds.): The Caledonide Orogen – Scandinavia and Related Areas. – John Wiley & Sons, Chichester, 953–978.
- Strömberg, A. et al., 1984: Fjällkedjan. In Karta över berggrunden i Jämtlands län, 1:200,000. – SGU Ca 53.
- Sundblad, K., 1980: A tentative 'volcanogenic' formation model for the sediment-hosted Ankervatnet Zn-Cu-Pb massive sulphide deposit, central Swedish Caledonides. – Norges Geologiske Undersøkelse 360, 211–227.
- 1981: Element exchange in silicate-dominated rocks at the Ankervatnet massive sulphide deposit, central Swedish Caledonides. – Medd. Stockh. Univ., Geol. Inst., 250, 40 pp.
- Sundius, N., 1952: Kvarns, fältspat och glimmer samt förekomst därav i Sverige. – SGU C 520, 231 pp.
- Trouw, R.A.J., 1973: Structural geology of the Marsfjällen area, Caledonides of Västerbotten, Sweden. – SGU C 689, 155 pp.
- Van Roermund, H.L.M., 1976: Veldwerkverslag 1976, Fiskfjället. – Internal report, Univ. Leiden. SGU BRAP 88014, 20 pp.
- 1977: De geologie van het Ertsøke-Jerppejakke gebied. – Scriptie 1e bijvak. Internal report, Univ. Leiden. SGU BRAP 88015, 106 pp.
- 1985: Eclogites of the Seve Nappe, Central Scandinavian Caledonides. In Gee, D.G. and Sturt, B.A. (eds.): The Caledonide Orogen – Scandinavia and Related Areas. – J. Wiley & Sons, Chichester, 873–886.
- 1989: High-pressure ultramafic rocks from the Allochthonous Nappes of the Swedish Caledonides. In Gayter, R.A. (ed.): The Caledonide Geology of Scandinavia – Graham and Trotman, 205–219.
- Van Roermund, H.L.M. and Bakker, E., 1984: Structure and metamorphism of the Tången-Inviken area, Seve Nappe, Central Scandinavian Caledonides. – GFF 105, 301–319.
- Williams, I.S. and Claesson, S., 1987: Isotopic evidence for the Precambrian provenance and Caledonian metamorphism of high-grade paragneisses from the Seve Nappes, Scandinavian Caledonides. II. Ion microprobe zircon U-Th-Pb. – Contrib. Mineral. Petrol. 97, 205–217.
- Winter, W.A., 1974: Geologie van het Uredakke-fjället, Jämtland, Zweden. – Scriptie 1e bijvak. Internal report, Univ. Leiden. SGU BRAP 88019, 53 pp.
- Zachrisson, E., 1969: Caledonian geology of northern Jämtland – southern Västerbotten. – SGU C 644, 33 pp.
- 1973: The westerly extension of Seve rocks within the Seve-Köll Nappe Complex in the Scandinavian Caledonides. – GFF 95, 243–251.
- 1986: Scandinavian Caledonides. Stratabound sulphide deposits. Map 1:1.5 M scale. – SGU Ba 42.